
თავი I. დეფორმირებული სიგნალების ზემოქმედება ხაზოვან სტაციონარულ სისტემები

1..1. შედებები

1. სისტემური ოპერატორი ეწოდება სისტემის შესასვლელის და გამოსასვლელებს შორის დამაკავშირებელ კანონს.
2. სისტემების კლასიფიკაცია ეფუძნება სისტემური ოპერატორების თვისებებს.
განასხვავებენ წრფივი და არაწრფივი, სტაციონარული და არასტაციონარული, თავმოყრილი და განაწილებული სისტემები.
3. ხაზოვანი სისტემის რეაქციას დელტა-ფუნქციაზე უწოდებენ იმპულსურ მახასიათებელს.
4. სისტემის გამოსასვლელზე სიგნალი არის შესასვლელი სიგნალის და იმპულსური მახასიათებელის ნახვები.
5. გადაცემის სიხშირული კოეფიციენტი და იმპულსური მახასიათებელი დაკავშირებული არიან ფურიეს გარდაქმნის წყვილით.
6. დინამიური სისტემის საკუთარი რხევები განისაზღვრება მახასიათებელი განტოლების ფესვებით.
7. დინამიური სისტემა აბსოლუტურად მდგრადია, თუ მახასიათებელი განტოლების ფესვებს აქვს უარყოფიტი ნამდვილი ნაწილები.
8. ხაზოვანი სტაციონარული სისტემის გადაცემის სიხშირული კოეფიციენტი, რომელიც აღწერება ჩვეულებრივ დიფერენციალური განტოლებით, არის სიხშირის წილად-რაციონალური სისტემა.
9. გამოსასვლელი სიგნალის სპექტრული სიმკრივე არის გადაცემის სიხშირული კოეფიციენტის და შესასვლელზე რხევის სპექტრული სიმკრივის ნამრავლი.
10. დატვირთვას შედგენილს პარალელურად შეერთებული R წინადობის და C ტეპადობის ელემენტებისაგან უწოდებენ აპერიოდული, ხოლო LC -კონტურით მიღებულ დატვირთვას ეწოდება – რხევითი.
11. მაძლიერებლის გატარების ზოლი მიღებულია შეფასდეს საზღვრულ სიხშირით, რომელზეც ასმ მნიშვნელობები მცირდება $\sqrt{2} - \sqrt{e}$ K_0 -თან შედარებით, სადაც $K_0 = SR_{\text{კა}}$ მაძლიერებლის კოეფიციენტის მოდულია.

12. საპონტოლო პითხება

1. მოიყვანეთ: წრფივი და არაწრფივი; სტაციონარული და არასტაციონარული სისტემების რამდენიმე მაგალითი.
2. რა პირობების დროს ხაზოვანი სისტემის რეაქცია მოკლე შესახვლელ იმპულსზე შეიძლება წარმოვიდგინოთ სისტემის იმპულსურ მახასიათებლად?
3. ჩამოაყალიბეთ სისტემის ფიზიკური რეალიზირების პირობა.
4. რა არის სისტემის გარდამავალი მახასიათებელი? როგორ არის ერთმანეთან დაკავშირებული გარდამვალი და იმპულსური მახასიათებლები?
5. როგორ განისაზღვრება ხაზოვანი სისტემის გადაცემის სიხშირული კოეფიციენტი?
6. მოიყვანეთ პლა-ზონერის კრიტერიუმის ფორმულირება.
7. რაში მდგომარეობს დინამიური სისტემების განსხვავებული თვისება?
8. დაწერეთ ფორმულა, რომელიც განსაზღვრავს აპერიოდული დატვირთვის მქონე მცირე სიგნალების მაძლიერებელის სიხშირის გადაცემის კოეფიციენტს. რით განისაზღვრება გაძლიერების საზღვრული სიხშირე?
9. რაში მდგომარეობს წრფივ სისტემაში სიგნალის გასვლის სპეცირული ანალიზის მეთოდის აზრი.
10. რა ლოგარითმულ ერთეულებში იზომება სისტემაში სიგნალის გაძლიერება?
11. დახაზეთ დიფერენცირების და ინტეგრირების წრედების სქემები.
12. როგორ გარდაიქმნება შესასვლელი სიგნალის ვექტორი, რომელიც არის გლობორტის სიზრცის ელემენტი, ხაზოვანი წრედის გავლისას?
13. რა არის სიმძლავრის გადაცემის სიხშირული კოეფიციენტი?
14. მოიყვანეთ წრფივი სისტემის გადაცემის ფუნქციის ცნების განსაზღვრა.
15. კომპლექსური სიბრტყის რა არეში უნდა განლაგდეს მდგრადი ხაზოვანი სიტემის გადაცემის ფუნქციის პოლუსები?

13. პარცალების ამონინის ზოგადი მთლიანი

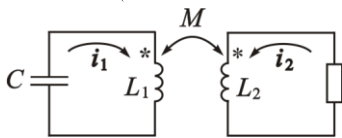
ზოგადი მეთოდი არ არსებობს. ყოველ კონკრეტულ შემთხვევაში მაგალითის/ამოცანის ამოხსნას უნდა მიუსადაგოდ შესაბამისი მათემატიკური აპარატი და ლოგიკური მსჯელობით ამოხსნათ დასმული მაგალითი ან ამოცანა.

14. ტიპური ამოდანების ამოხსნის მაგალითები

14.1. წრფივი წრედების დიფერენციულური განტოლებები.

საკუთარი რხევები

მაგალითი მთავრის გამოიყენეთ ნახ. მ.1.1-ზე მოყვანილი სქემის



მახასიათებელი განტოლება, რომელიც აღწერს წრედის საკუთარი რხევების იპოვებ საკუთარი რხევების სიხშირეები კერძო შემთხვევებისათ

ნახ. მ.1.1 ვის: a) $M = 0$; b) $R = \infty$; c) $R = 0$.

ამოხსნა: ავირჩიოთ დინამიურ ცვლადებად i_1 და i_2 დენები. მაშინ შედგება შემდეგი განტოლებათა სისტემა:

$$L_1 \frac{di_1}{dt} + \frac{1}{C} \int i_1 dt + M \frac{di_2}{dt} = 0,$$

$$L_2 \frac{di_2}{dt} + Ri_2 + M \frac{di_1}{dt} = 0.$$

გპოულობთ ამონახნს შემდეგი სახით $i_1(t) = Ae^{\gamma t}$, $i_2(t) = Be^{\gamma t}$, მივიღებთ განტოლებათა ალგებრულ სისტემას

$$\left(\gamma L_1 + \frac{1}{\gamma C} \right) A + \gamma M \cdot B = 0,$$

$$\gamma M \cdot A + (\gamma L_2 + R) \cdot B = 0.$$

ამ სისტემის ამოსახსნელად აუცილებელია, რომ გამსაზღვრებლი უდრიდეს ნულს, საიდანაც გამონმდინარეობს მახასიათებელი განტოლება

$$(\gamma^2 L_1 C + 1)(\gamma L_2 + R) - \gamma^3 M^2 C = 0. \quad (I.1)$$

თუ $M = 0$, მაშინ კონტურები აღმოჩნდებიან დამოუკიდებელია. (I.1) განტოლებას აქვს სამი ფესვი, ერთი მაღალი $\gamma_1 = -R/L_1$ ნამდვილია, ხოლო ორი სხვა $\gamma_{2,3} = \pm j/\sqrt{L_1 C}$ - სუფთა წარმოსახვითია. γ_1 ფესვს პასუხობს მილევადი ექსპონენციალური პროცესი RL -წრედში; $\gamma_{2,3}$ ფესვებს შეესაბამება ჰარმონიული რხევები საკუთარი სიხშირით $\omega_{b,j} = 1/\sqrt{L_1 C}$ უდანაგარგო LC -კონტურში.

თუ $R = \infty$, $RL - \text{კონტური}$ დიას; $LC - \text{კონტურში}$
შესაძლებელია არსებობდეს არამილევადი ჰარმონიული
რხევები საკუთარი $\omega_{\text{სა}} \approx \omega_{\text{სირით}}$.

თუ $R = 0$, მაშინ (I.1) განტოლება იღებს სახეს

$$(\gamma^2 L_1 C + 1) \gamma L_2 - \gamma^3 M^2 C = 0 \Rightarrow \gamma^2 (L_1 L_2 - M^2) C = -L_1, \quad (\text{I.2})$$

საიდანაც $\gamma_{2,3} = \pm \frac{j}{\sqrt{(1-k_{\text{გა}}^2)L_1 C}}$, (I.3)

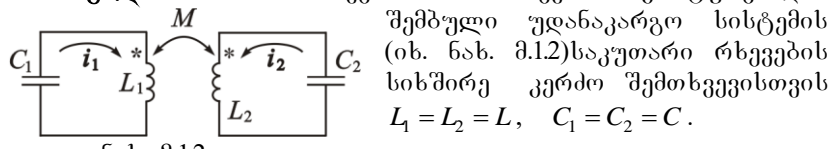
სადაც $k_{\text{გა}} = M / \sqrt{L_1 L_2} \leq 1$ – კონტურების ინდუქტიური ბმის კავ-
შირის კოეფიციენტი.

ამასთან სისტემაში შეინიშნება საკუთარი ჰარმონიული რხევები

სიხშირით $\omega_{\text{სა}} = \frac{1}{\sqrt{(1-k_{\text{გა}}^2)L_1 C}} > \frac{1}{\sqrt{L_1 C}}$. (I.4)

მაშასადამე, მოკლედ ჩართულ კონტურთან ინდუქტიური
კავშირის არსებობას მივყევართ რხევითი კონტურის საკუთარი
სიხშირის გაზრდასთან.

მაგალითი მ.12. იპოვეთ ორი რხევითი კონტურებიდან



ნა. მ.12

ამონსნა: განსახილავი წრედის დიფერენციალური განტო-
ლებათა სისტემას აქვს სახე:

$$\begin{aligned} L \frac{d^2 i_1}{dt^2} + \frac{i_1}{C} + M \frac{d^2 i_2}{dt^2} &= 0, \\ L \frac{d^2 i_2}{dt^2} + \frac{i_2}{C} + M \frac{d^2 i_1}{dt^2} &= 0. \end{aligned} \quad (\text{I.5})$$

i_1 და i_2 ცვლადებიდან გადავიდეთ ახალ ცვლადებზე ξ
და η ისეთებზე, რომ მათ მიმართ სისტემა (I.5) გადაიქცევა ორ
ერთმანეთისაგან დამოუკიდებელ განტოლებაზე. თუ ასეთი გარ-
დაქმნა შესაძლებელია, მაშინ ξ და η ცვლადებს უწოდებენ
სისტემის ნორმალულ კოორდინატებს. გადასვლა ნორმალურ
კოორდინატებზე – მნიშვნელოვანი ხერხია რხევების თეორიაში.

მოცემული შემთხვევისთვის ნორმალული კოორდინატები
იპოვება მარტივად:

$$\xi = i_1 + i_2; \quad \eta = i_1 - i_2. \quad (I.6)$$

ნამდვილად, (I.6)-ში შემავალი განტოლებების შეკრეფის და გამოკლების შემდეგ მივიღებთ:

$$(L+M) d^2\xi/dt^2 + \xi/C = 0, \quad (I.7)$$

$$(L-M) d^2\eta/dt^2 + \eta/C = 0. \quad (I.8)$$

(I.7) განტოლების ამოხსნები პასუხობები პარმონიულ რხევებს საკუთარი $\omega_{b,j,1} = 1/\sqrt{(L+M)C}$ სიხშირით. ანალოგურად (I.8)

განტოლებიდან გვაქვს საკუთარი რხევის $\omega_{b,j,2} = 1/\sqrt{(L-M)C}$ სიხშირე. ამბობენ, რომ განსახილავ სისტემაში შესაძლებელია ორი ნორმალური რხევა, რომელსაც უწოდებენ ასეე მოდები. რთული რხევითი სისტემების მოდები ერთმანეთისაგან სრულია და დამოუკიდებელი არიან. ასე, შესაბამისი საწყისი პირობების დროს სისტემაში შესაძლებელია სელექტიურად აღიძერას პირველი (დაბალსიხშირული ანუ ნელი მოდი). აღმნების სხვა ხერხისას შესაძლებელია მივაღწიოთ მხოლოდ მეორის (მაღალსიხშირული ანუ სწრაფი მოდი) არსებობას. ზოგად შემთხვევაში სისტემაში ერთდროულად არსებობს ორი მოდი, რომლების ინტერფერენციით იქნება რხევების ცენტრი.

მაგალითი მ.1.3. ნახ. მ.1.3 მოყვანილ RL -წრედისთვის დაწერეთ დიფერენციალური განტოლებები სისტემა, რომლებიც აღწერენ წრედის საკუთარ რხევებს. შეადგინეთ მოვალეობის წრედის მახასიათებელი განტოლება და იპოვეთ მისი ფასები, ამასთან $R_1 = R_2 = 3.9$ კომ, $R_3 = 1.6$ კომ, $L_1 = 15$ მჟან, $L_2 = 35$ მჟან.

ამოხსნა: სამიერენი ფუნქციების დასადგენათ გამოვიყენოთ 1 და 2 კვანძების პოტენციალები u_1 და u_2 , შესაბამისად,

$$\frac{du_1}{dt} + \frac{R_{13}}{L_1} u_1 - \frac{R_{13}}{R_3} \frac{du_2}{dt} = 0, \quad -\frac{R_{23}}{R_3} \frac{du_1}{dt} + \frac{du_2}{dt} + \frac{R_{23}}{L_2} u_2 = 0,$$

$$\text{სადაც } R_{13} = \frac{R_1 R_3}{R_1 + R_3}; \quad R_{23} = \frac{R_2 R_3}{R_2 + R_3}.$$

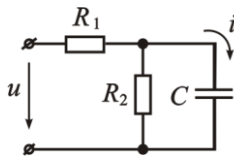
გახასიათებელი განტოლება

$$\left(1 - \frac{R_{13}R_{23}}{R_{33}^2}\right)\gamma^2 + \left(\frac{R_{23}}{L_2} + \frac{R_{13}}{L_1}\right)\gamma + \frac{R_{13}R_{23}R_2R_3}{L_1L_2} = 0.$$

თუ შევიტანო პარამეტრების მნიშვნელობებს მივიღებთ
 $\gamma_1 = -1.915 \cdot 10^8 \text{ rad}^{-1}$, $\gamma_2 = -2.57 \cdot 10^7 \text{ rad}^{-1}$.

1.4.2. გადამცემი ფუნქცია და ფრენის გადამცემის სიხშირული პროცესით

მაგალითი მ.14. როგორ RC -წრედში (ნახ. მ.14) შესავალი



სიგნალი არის $u(t)$ ძაბვა, ხოლო გამოსასვლელი სიგნალი – $i_C(t)$ დენი. იპოვეთ მოცემული სისტემის გადაცემის $K(p)$ ფუნქცია.

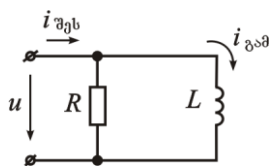
ამოხსევით!

ნახ. მ.14

$$\text{პასუხი: } K(p) = \frac{1}{R_1 + (1 + R_1/R_2)/pC}$$

მაგალითი მ.15. გამოთვალეთ ნახ. მ.1.5-ზე მოყვანილი სქემის გადაცემის $K(p)$ ფუნქცია. შესავალი სიგნალი არის $i(t)$ დენი, ხოლო გამოსასვლელი სიგნალი – $u(t)$ ძაბვა.

ამოხსევით!

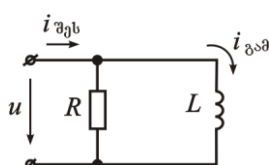


ნახ. მ.15

$$\text{პასუხი: } K(p) = \frac{p^2 L_2^2}{pL_2(1 + L_2/L_1) + L_2 R/L_1}$$

მაგალითი მ.16. იპოვეთ ნახ. მ.1.6-ზე მოყვანილი სქემის გადაცემის $K(p)$ ფუნქცია, რომელიც უდრის $i_{\text{გამ}}$ (t) და $i_{\text{ვებ}}$ (t) დენების გამოსახულებების ფარდობას .

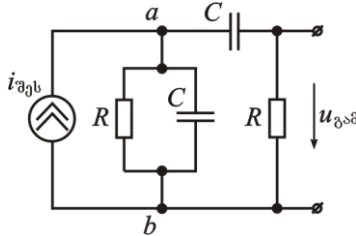
ამოხსევით!



ნახ. მ.16

$$\text{პასუხი: } K(p) = \frac{i_{\text{გამ}}(t)}{i_{\text{ვებ}}(t)} = \frac{R}{pL + R}$$

მაგალითი მ.1.7. ხაზოვანი წრედი, რომლის სქემა მოყვანილია ნახ. მ.1.4-ზე, აღიგზნება იდეალური $i_{\text{შე}}(t)$ დენის წყაროთ. გამო-



ნახ. მ.1.7

და ფაზა-სიხშირულ მახასიათებლებს.

ამონა: a და b კვანძებს შორის ჩართულია ორი ტოტი ოპერატორული გამტარობებით

$$G_1 = \left(\frac{1}{pC} \right)^{-1} + (R)^{-1} = pC + \frac{1}{R}; \quad G_2 = \frac{1}{R+1/pC} = \frac{pC}{1+pRC}.$$

დენების გამოსახულებები, გამომდინარეობს კირპოფის კანონებიდან: $I_1 + I_2 = I_{\text{შე}}$; $I_1/I_2 = Y_1/Y_2$.

აქედან

$$I_2 = I_{\text{შე}} Y_2 / (Y_1 + Y_2)$$

და ამიტომ გადაცემის ფუნქცია

$$K(p) = \frac{RY_2}{Y_1 + Y_2} = \frac{pR^2C}{(RC)^2 p^2 + 3RCp + 1}.$$

ავღნიშნოთ $\tau = RC$ და ოუ p პარამეტრს შევცვლით $p = j\omega$, გვოულობთ გადაცემის სიხშირულ კოეფიციენტს

$$K(j\omega) = \frac{j\omega\tau R}{(\tau)^2 (j\omega)^2 + 3\tau j\omega + 1} = \frac{j\omega\tau R}{1 - \omega^2\tau^2 + j3\omega\tau}. \quad (1.1)$$

აქედან ნორმირებული ამპლიტუდურ-სიხშირული მახასიათებე-

$$\text{ლი} \quad |K(j\omega)|/R = \frac{\omega\tau}{\sqrt{(1 - \omega^2\tau^2)^2 + 9\omega^2\tau^2}}.$$

ფაზა-სიხშირულ მახასიათებელი $\varphi_k(\omega)$ წარმოადგენს ორი კომპლექსური რიცხვის სხვაობას, რომლებიც მოყვანილია ფორმულა (1.1)-ში მრიცხველში და მნიშვნელში. ოუ $\omega\tau < 1$,

მაშინ მნიშვნელი ასეახება წერტილათ კომპლექსურ სიბრტყის პირველ კვადრანტში და ამიტომ

$$\varphi_k(\omega) = \pi/2 - \arctg\left(3\omega\tau/(1-\omega^2\tau^2)\right).$$

თუ $\omega\tau > 1$, მაშინ მნიშვნელის ამსახველი წერტილი გადაინაცვლებს კომპლექსური სიბრტყის მეორე კვადრანტში, ისე რომ

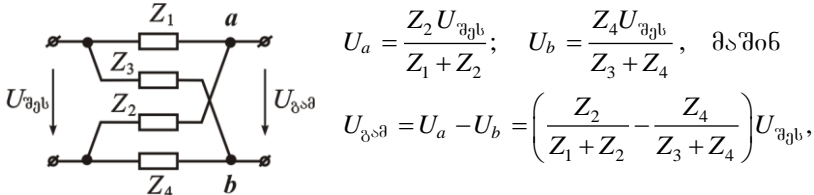
$$\varphi_k(\omega) = -\arctg\left[(\omega^2\tau^2 - 1)/(3\omega\tau)\right].$$

მაგალითი მ.1.8. ნახ. მ.1.8 გამოსახულია ბოგირული ("გადაჯვარედინებული") სტრუქტურის მქონე ხაზოვანი ოთხოლუსა, რომელიც შეიცავს ოკერატორულ Z_1, Z_2, Z_3 და Z_4 წინადობებს.

გამოიყვანეთ ფორმულა $K(p) = U_{\text{აბ}}(p)/U_{\text{ბა}}(p)$ ფუნქციის გამოსათვლელათ.

მითითება: განხილვისას შეიტანეთ ცვლადები U_a და U_b - რომლები აღნიშნავენ a და b წერტილების ელექტრულ პოტენციალებს. ამასთან $U_{\text{ბა}} = U_a - U_b$.

ამოხსნა: პოტენციალების გამოსახულებებს ექნება სახე:



ნახ. მ.1.8

$$K(p) = \frac{Z_2 Z_3 - Z_1 Z_4}{(Z_1 + Z_2)(Z_3 + Z_4)}.$$

მაგალითი მ.1.9. პელი-ვინერის კრიტერიუმის გამოყენებით, განიხილეთ საკითხი დაბალი ხიხშირის ფილტრის რეალიზება-დობის შესახებ, რომლის ამპლიტუდურ-სიხშირულ მახასიათებელს გაუსის სახე აქვს, ანუ $|K(j\omega)| = K_0 \exp(-b\omega^2)$, $0 < \omega < \infty$.

ამოხსნა: განვიხილოთ პელი-ვინერის ინტეგრალი

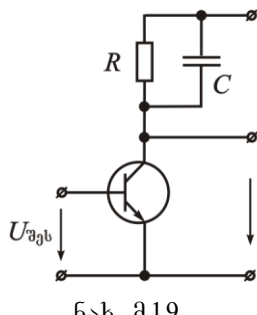
$$\int_{-\infty}^{\infty} \frac{\ln|K(j\omega)|}{1+\omega^2} d\omega = \int_{-\infty}^{\infty} \frac{\ln K_0 - b\omega^2}{1+\omega^2} d\omega.$$

ვინაიდან $\lim_{\omega \rightarrow \infty} \frac{\omega^2}{1+\omega^2} = 1$, მაშინ ინტეგრალი განშლადია და ამიტომ ფილტრი ფიზიკურად არარეალიზებადია!

14.3. მარტივი და გარეაგალი განასიათებები

მაგალითი მ.1.10. ბიპოლარულ ტრანზისტორში ინერციული პროცესების აღრიცხვისათვის ხშირად იყენებენ გამარტივებულ მოდელს, რომლის მიხედვით სტატიკული დიფერენციალური დახრილობა არის კომპლექსური და დამოკიდებულია ხიხშირებები

$$S(\omega) = S_0 / (1 + j\omega/\omega_{b\text{b}\text{q}}).$$



ნახ. მ.1.9
შიც გამოყენებულია ასეთი ტრანზისტორი.

ამონა: მოცემული სისტემის გადაცემის სიხშირული კოეფიციენტია $K(j\omega) = \frac{-S_0 R_{\text{q}} \omega_{b\text{b}\text{q}}}{(\omega_{b\text{b}\text{q}} + j\omega)(1 + j\omega\tau_{\text{q}})}$, საიდანაც

$$h(t) = \frac{S_0 R_{\text{q}} \omega_{b\text{b}\text{q}}}{2\pi} \int_{-\infty}^{\infty} \frac{e^{j\omega t} d\omega}{(\omega_{b\text{b}\text{q}} + j\omega)(1 + j\omega\tau_{\text{q}})}.$$

კომპლექსური ω ცვლადის სიბრტყეში ინტეგრალქვეშა გამოსახულებას აქვს ორი მარტივი პოლუსი წერტილებში კოორდინატებით $\omega_1 = j\omega_{b\text{b}\text{q}}$. და $\omega_2 = j/\tau_{\text{q}}$. ნაშთების პოვნით

$$\text{res}|_{\omega=\omega_1} = \frac{e^{-\omega_{b\text{b}\text{q}} t}}{j(1 - \omega_{b\text{b}\text{q}} \tau_{\text{q}})} \quad \text{და} \quad \text{res}|_{\omega=\omega_2} = -\frac{-e^{-t/\tau_{\text{q}}}}{j(1 - \omega_{b\text{b}\text{q}} \tau_{\text{q}})},$$

$$\text{ვიღებთ} \quad h(t) = -\frac{S_0 R_{\text{q}} \omega_{b\text{b}\text{q}}}{1 - \omega_{b\text{b}\text{q}} \tau_{\text{q}}} \left(e^{-\omega_{b\text{b}\text{q}} t} - e^{-t/\tau_{\text{q}}} \right).$$

მაგალითი მ.1.11. მიიღეთ ფორმულა, რომელიც აღწერს ერთნაირი აპერიოდული დატვირთვის მქონე N საფეხურიანი მცირე სიგნალების მაძლიერების იმპულსური $h(t)$ მახასიათებელი, იმის გათვალისწინებით, რომ ერთი საფეხურის გადაცემის სიხშირული კოეფიციენტი უდრის $K_1(j\omega) = -K_0 / (1 + j\omega\tau_{\text{q}})$,

სადაც K_0 – საფეხურის გაძლიერების კოეფიციენტია ნულოვან
სიხშირეზე, ხოლო τ_0 – საფეხურის ეკვივალენტური დროის
მუდმივაა.

ააგეთ იმპულსური მახასიათებლების გრაფიკები $N = 2, 3$ და
 4 – სათვის დამოკიდებული უგანბომილო არგუმენტიზე t/τ_0 .

მითითება: გაითვალისწინეთ, რომ რგოლების კასკადური შე-
ერთებისას მათი გადამცემი კოეფიციენტები გადამამრავლდები-
ან. იმპულსური მახასიათებელი იპოვეთ ნაშთთა თეორიის გამო
ყენებით

ამოხსნა : იდენტური რგოლებისაგან შედგენილი N -საფე-
ხურიანი სისტემისათვის $K_N(j\omega) = (-K_0)^N / (1 + j\omega\tau_0)$.

$$\text{მაშინ} \quad h(t) = \frac{(-K_0)^N}{2\pi} \int_{-\infty}^{\infty} \frac{e^{j\omega t} d\omega}{(1 + j\omega\tau_0)^N}.$$

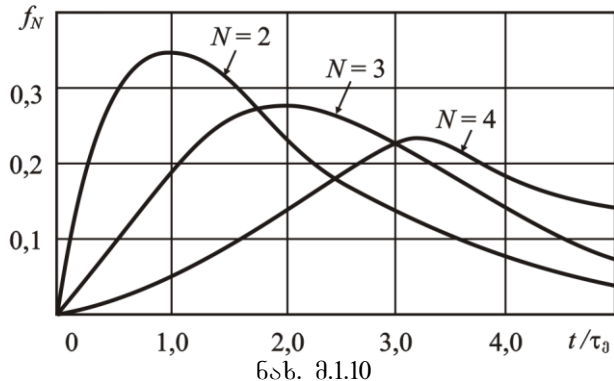
ინტეგრალურ ფუნქციას აქვს $N - 1$ ჯერადი პოლიენი $\omega = j/t_0$

$$\begin{aligned} \text{ნაშთით} \quad res|_{\omega=j/\tau_0} &= \frac{1}{(N-1)!} \frac{d^{N-1}}{d\omega^{N-1}} \left[\frac{e^{j\omega t} (\omega - j/\tau_0)^N}{(1 + j\omega\tau_0)^N} \right]_{\omega=j/\tau_0} = \\ &= -\frac{1}{(N-1)!} \left(\frac{t}{\tau_0} \right)^{N-1} e^{-t/\tau_0} / \tau_0. \end{aligned}$$

$$\text{აქედან} \quad h(t) = \frac{(-K_0)^N}{(N-1)!} \cdot \frac{1}{\tau_0} \left(\frac{t}{\tau_0} \right)^{N-1} e^{-t/\tau_0} \sigma(t).$$

ნახ. მ.1.10-ზე წარმოდგენილია იმპულსური მახასიათებლების
პროპორციული ფუნქციების გრაფიკები

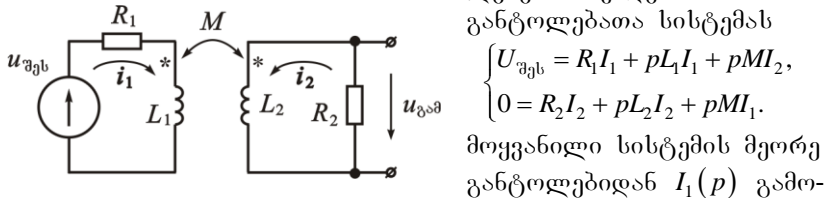
$$f_N \left(\frac{t}{\tau_0} \right) = \left(\frac{t}{\tau_0} \right)^{N-1} e^{-t/\tau_0} / (N-1)!$$



გრაფიკები აგებულია $N = 2, 3$ და 4 –სათვის. გრაფიკებიდან ჩანს, რომ მაძლიერებელის საფეხურების რიცხვის გაზრდას მივყევართ იმპულსური გამოძახილის დაყოვნებისაკენ.

მაგალითი მ.1.11. იპოვეთ ორკონტური წრედის იმპულსური $h(t)$ და გარდამავალი $g(t)$ მახასიათებლები, რომლის პრინციპული სქემა მოყვანილია ნახ. მ.1.11-ზე.

ამონება : გამოვიყენებთ რა ძაბვის და დენების გამოსახულებებს შივიღებტობანობათა სისტემას



$$\begin{cases} U_{3gb} = R_1 I_1 + pL_1 I_1 + pM I_2, \\ 0 = R_2 I_2 + pL_2 I_2 + pM I_1. \end{cases}$$

მოყვანილი სისტემის მორეანობაზე განტოლებიდან $I_1(p)$ გამო-

რიცხვით მივიღებთ კავშირს

ნახ. მ.1.11

U_{3gb} და I_2 შორის:

$$U_{3gb} = \left[pM - \frac{(R_2 + pL_2)(R_1 + pL_1)}{pM} \right] I_2.$$

წრედის გადამცემი ფუნქცია

$$K(p) = \frac{U_{3gb}}{U_{3gb}} = \frac{pMR_2}{p^2(L_1L_2 - M^2) + p(L_1R_2 + L_2R_1) + R_1R_2}.$$

აქ გათვალისწინებულია, ის რომ $U_{3gb} = -I_2R_2$, ვინაიდან კონტურული i_2 დენების გაზრდა იმ მიმართულებით, რომელიც მიღებულია დადებითად, მივყევართ პოტენციალის გაზრდისაკენ R_2 .

რეზისტორის ქვედა მომჭერზე, ანუ გამოსავალი ძაბვის შემცირებისკენ. გამოვიყენოთ აღნიშვნა $L_1L_2 - M^2 = L_1L_2(1 - k_{\delta\theta}^2)$, როგორიც გამომდინარეობს ბმის კოეფიციენტის გამოსახულების $k_{\delta\theta} = M/\sqrt{L_1L_2}$ მარტივი გარდაქმნით. მაშინ გადამცემი ფუნქცია შეგვიძლია წარმოვიდგინოთ სახით

$$K(p) = \frac{MR_2}{L_1L_2(1 - k_{\delta\theta}^2)} \cdot \frac{p}{(p - p_1)(p - p_2)},$$

სადაც $p_{1,2} - \text{მასასიათგბელი განტოლების ფესვებია}$

$$p^2 + p \frac{L_1R_2 + L_2R_1}{L_1L_2(1 - k_{\delta\theta}^2)} + \frac{R_1R_2}{L_1L_2(1 - k_{\delta\theta}^2)} = 0.$$

ლაპლასის გარდაქმნის ცხრილების გამოყენებით, მივიღებთ

$$h(t) = \frac{MR_2}{L_1L_2(1 - k_{\delta\theta}^2)} \cdot \frac{1}{p_1 - p_2} (p_1 e^{p_1 t} - p_2 e^{p_2 t}) \sigma(t),$$

$$g(t) = \frac{MR_2}{L_1L_2(1 - k_{\delta\theta}^2)} \cdot \frac{1}{p_1 - p_2} (e^{p_1 t} - e^{p_2 t}) \sigma(t).$$